

# PDP용 반파 공진형 멀티출력 하프브리지 컨버터의 다중 공진특성에 관한 연구

論文

55B-6-5

## A Study on the Multi-resonant characteristics of Half-wave Resonant Type Multi-output ZVS HB Converter for the Plasma Display Panel

李在三<sup>\*</sup>·孫虎仁<sup>\*</sup>  
(Jae-In Lee · Ho-In Son)

**Abstract** – In recent years, having the advantages of being small, low in cost and high in efficiency, Half-wave resonant type, (having only one output diode), is used in ZVS Half-Bridge DC/DC converter. This paper presents the operation mode by multi-resonant factors in the Half-wave type multi-resonant converter with direct Buck chopper circuit operated in discontinuous current mode. To study the characteristics of a multi-resonant operation in steady-state, the characteristic impedances in each mode and safe operation-region(S.O.R) are reported. Computer simulation and experimental data are also given to verify the theoretical results.

**Key Words** : Soft Switching, Half-Wave, Multi Resonant, ZVS, Half-Bridge Converter, Direct Chopper

### 1. 서 론

최근 PDP는 다른 디스플레이 소자들에 비해, 우수한 화질, 넓은 시야각 및 대화면화의 용이성, 박형, 무게 등의 장점을 가지고 있다. PDP TV는 영상을 표시하는 PDP패널, 영상을 처리하는 디지털 영상 보드, PDP패널을 구동하는 X, Y 드라이버 및 PDP의 구동에 필요한 모든 전원을 공급하는 PDP 전력 모듈로 구성된다. 최근 PDP의 구동에 필요한 전원 장치의 고용량, 고효율, 소형화 추세에 따른 고 주파수 (high frequency) ZVS DC/DC 컨버터들이 제안되고 있다.[1-5] 이 중 ZVS HB(Half Bridge) 컨버터는 가격 절감, 간단한 제어, 스위칭 스트레스 감소 등 많은 장점을 가지고 있다. 이 방식은 주 스위치(FET)에 내장된 역방향 다이오드(body diode)가 턴 온(turn-on) 된 상태에서 주 스위치를 턴 온 시킴으로서 영전압 스위칭이 가능하여, 스위칭 주파수가 증가 될수록 야기되는 주 스위칭 소자의 스위칭 손실(switching loss)을 억제하는 장점을 갖게 되며, 출력 다이오드의 턴 오프(turn-off)시 발생하는 역 전류가 현저히 감소되어 소프트 스위칭이 가능하다.[1] 또한, 가격 절감, 효율 증대, 노이즈 저감 등을 위해서, 출력 단 정류 다이오드를 하나만 사용하는 반파 공진형 컨버터가 응용되고 있다.[2]

그러나 이러한 기존 ZVS HB 컨버터들은 멀티 출력으로 사용할 경우 주 출력부의 부하전류 증가 시 야기되는 보조 출력부의 전압 상승 문제(Cross regulation)를 가지고 있다.

본 논문에서는 PDP 구동 전원장치에 적합한, 개선된 벡-

초퍼(Buck-Chopper) 회로를 보조 출력으로 하여 크로스 레귤레이션(Cross-regulation) 문제가 해결될 수 있는 새로운 반파 공진형 멀티출력 HB 컨버터를 제안하였다.[3-5] 제안된 멀티 출력 HB 컨버터의 정상상태(steady-state) 다중 공진(multi-resonant) 특성 해석을 위해, 컨버터 회로 시뮬레이션을 통한 각 동작 모드 별, 변압기 1차 측 공진 인덕터( $L_r$ ) 전류 및 공진 커패시터( $C_r$ ) 양단 전압 식을 유도하였으며, 모드 별 특성 임피던스(characteristic impedance)를 고찰하였다. 또한 메인 출력전류( $I_{om}$ ) 및 보조 출력전류( $I_{os}$ )의 증감에 관계없이, 순환 자화 전류 (magnetizing current)가 존재하기 위한 안정된 공진 동작 영역(S.O.R : safe operation region)을 제시하였다.

### 2. 반파 공진형 단일 출력 ZVS HB 컨버터의 동작특성

멀티 출력 반파 공진형 HB 컨버터의 동작 고찰을 위하여, 우선 단일 출력 컨버터의 동작내역을 확인하고자 한다.

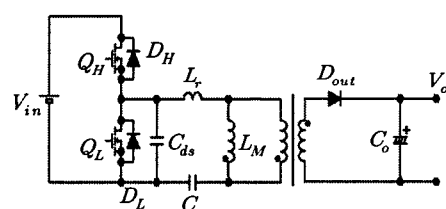


그림 1 단일 출력 반파 공진형 하프브리지 회로

Fig. 1 Half-wave type ZVS Half-Bridge resonant converter

단일 출력 반파 공진형 HB 회로를 그림 1에 도시하였다, 여기서,  $C_{ds}$ 는 주 스위치( $Q_L$ )의 내부 기생 커패시턴스 및 외부 커패시턴스의 등가 병렬 커패시턴스를 나타낸다. 그림

\* 교신저자, 正會員 : LG 이노텍(주) 선임연구원  
E-mail : jsleer@lginnotech.com

• 正會員 : LG 이노텍(주) 주임연구원  
接受日字 : 2006年 2月 6日  
最終完了 : 2006年 4月 24日

2와 그림 3은 스위칭 한주기 동안 주요 소자의 전류 및 전압 시뮬레이션 과정, 각 모드별 동작을 나타내고 있다. 또한 각 모드별 공진 인자는 표 1과 같다.

#### 2.1 모드 I : $t_0 \leq t \leq t_1$

주 스위치( $Q_H$ ) 또는 내부 병렬 다이오드( $D_H$ )가 터온 되어, 트랜스포머의 누설 인덕턴스( $L_r$ ) 및 자화 인덕턴스( $L_M$ ), 공진 커패시터( $C_r$ )에 의한 공진 전류가 1차 측 회로에서 환류 되는 구간이다. 기생 커패시턴스( $C_{ds}$ )의 전압이 입력전압( $V_{in}$ )으로 충전되어, 주 스위치의 내부 다이오드( $D_H$ )를 터온 시키는 순간부터 [모드 I] 이 개시한다고 가정하였다. 다이오드( $D_H$ )를 통해 입력 측으로 환류 된 공진전류는 주 스위치( $Q_H$ )가 터온 된 이후, 다시 트랜스포머 측으로 인가 된다. 내부 다이오드( $D_H$ )가 터온 상태에서, 주스위치( $Q_H$ )가 터온 됨으로, 영전압 스위칭(ZVS)이 가능하다.

#### 2.2 모드 II : $t_1 \leq t \leq t_2$

주 스위치( $Q_H$ )가 터온 오프 되어, 입력전압( $V_{in}$ )으로 충전 되어 있는 기생 커패시턴스( $C_{ds}$ )가 트랜스포머의 누설 인덕턴스( $L_r$ ) 및 자화 인덕턴스( $L_M$ ), 공진 커패시터( $C_r$ )를 통해 방전하는 구간이다.

#### 2.3 모드 III : $t_2 \leq t \leq t_3$

기생 커패시턴스( $C_{ds}$ )가 방전한 후, 트랜스포머 내 자화 인덕턴스( $L_M$ ), 누설 인덕턴스( $L_r$ ), 공진 커패시터( $C_r$ ) 및 주스위치 병렬 다이오드( $D_L$ )를 통해 순환 공진되는 구간이다.

#### 2.4 모드 IV : $t_3 \leq t \leq t_4$

트랜스포머 내 자화 인덕턴스( $L_M$ )의 역 기전력에 의해 주스위치 병렬 다이오드( $D_L$ )가 터온 되어, 누설 인덕턴스( $L_r$ ) 및 자화 인덕턴스( $L_M$ ), 공진 커패시터( $C_r$ )를 통해 전류 공진 하는 구간이다. 내부 다이오드( $D_L$ )가 터온 상태에서, 주스위치( $Q_L$ )가 터온 됨으로, 영전압 스위칭이 가능하며, 이 구간동안 출력 환류 다이오드( $D_{out}$ )를 터온 되어, 2차 측으로 에너지가 전달된다. 출력 다이오드( $D_{out}$ )에 인가되는 전류는 1차 측 공진전류 과정에 의존하며, 이상적 트랜스포머(ideal transformer)의 1차 측 권선에 유입되는 전류가 위상 반전되는 영 지점에서 출력 다이오드( $D_{out}$ )가 터온 오프 됨으로, 영전류 스위칭(ZCS)에 의한 소프트 스위칭 특성을 보인다.

#### 2.5 모드 V : $t_4 \leq t \leq t_5$

출력 환류 다이오드( $D_{out}$ )가 터온 오프 된 후, 주 스위치( $Q_L$ ) 및 누설 인덕턴스( $L_r$ ), 자화 인덕턴스( $L_M$ ), 공진 커패시터( $C_r$ )를 통해 1차 측 전류가 환류 되는 구간이다.

#### 2.6 모드 VI : $t_5 \leq t \leq t_6$

주스위치( $Q_L$ )가 터온 오프 되는 구간으로서, 터온 시, 누설 인덕턴스( $L_r$ ), 자화 인덕턴스( $L_M$ ), 공진 커패시터( $C_r$ )를 통해 기생 커패시턴스( $C_{ds}$ )가 입력전압( $V_{in}$ )으로 충전 되며, 이후 [모드 I] 구간에서 주기 반복된다.

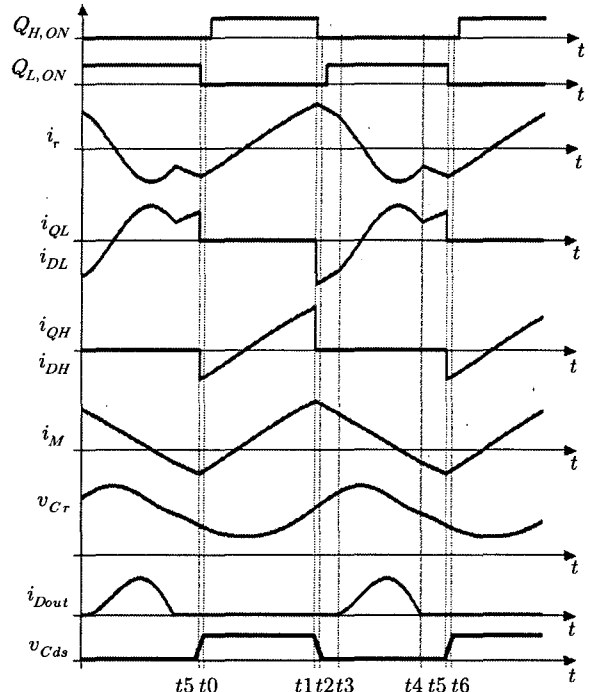


그림 2 단일 출력 반파 공진형의 동작 시뮬레이션 과정  
Fig. 2 Theoretical waveforms of the Half-wave type

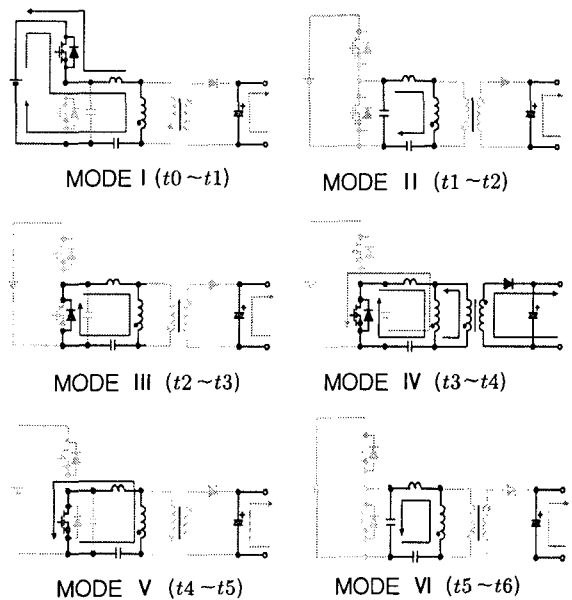


그림 3 단일 출력 반파 공진형 회로의 모드별 전류 동작  
Fig. 3 Operation mode of the Half-wave type

표 1 단일 출력에서의 모드별 공진 인자

Table 1 Resonant factor in the operation mode

모드	공진 인자
모드 I	$L_r, L_M, C_r$
모드 II	$L_r, L_M, C_r, C_{ds}$
모드 III, IV, V	$L_r, L_M, C_r$
모드 VI	$L_r, L_M, C_r, C_{ds}$

### 3. 벽-초퍼 회로를 갖는 반파 공진형 멀티 출력 ZVS HB 컨버터의 동작특성

#### 3.1 벽-초퍼(Buck chopper) 회로 동작 개요

단일 출력 반파 공진형 HB 컨버터 회로에서, 보조 출력부 벽-초퍼(Buck chopper) 회로를 추가한 멀티 출력 하프브리지 컨버터 회로를 그림 4에 도시하였다.

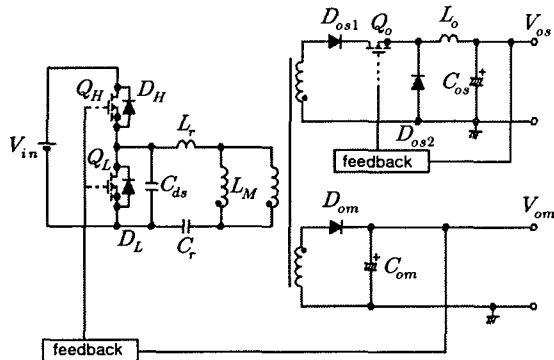


그림 4 제안된 멀티 출력 반파 공진형 하프브리지 회로  
Fig. 4 The proposed Half-wave type ZVS HB multi-output converter

1차 측 주 스위치  $Q_H$  도통 구간에서는 보조 출력부의 정류다이오드( $D_{os1}$ )가 도통되어, 변압기 에너지가 보조 출력부( $V_{os}$ )로 전달되며, 주 스위치  $Q_L$  도통 구간에서는 변압기 에너지가 메인 출력부( $V_{om}$ )로 전달된다.

주 출력부( $V_{om}$ )의 부하전류 증가 시 야기되는 보조 출력부( $V_{os}$ )의 전압 상승 문제(cross regulation)를 보완하기 위하여 별도의 내부 제어루프를 갖는 벽-초퍼 회로의 기본적 동작 원리를 그림 5에 나타내었다.

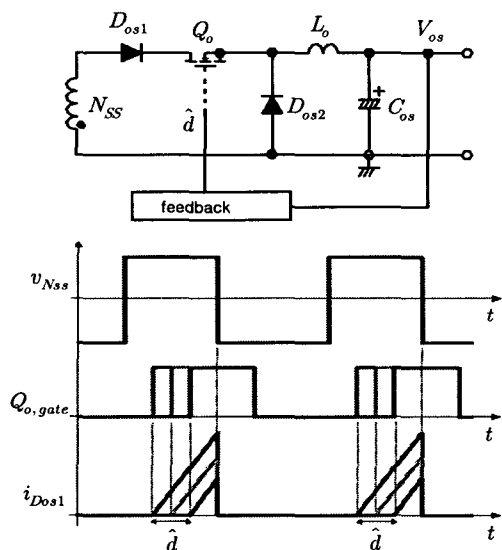


그림 5 벽-초퍼 회로의 동작 원리  
Fig. 5 basic operation of the Buck-chopper circuit

불연속 전류모드(BCM:discontinuous current mode) 특성

을 갖는 벽-초퍼 회로의 출력 정전압(regulation) 제어를 위하여, 일반적인 벽(Buck) 컨버터의 제어 방식과는 상이한, 벽 스위치( $Q_o$ ) 도통시간의 턴 온(turn on) 지점에서 미소제어( $\hat{d}$ ) 됨을 보여준다. 또한 벽 스위치( $Q_o$ ) 전류 오프(off)는 내부 제어 전압과 관계없이, 1차 측 주 스위치( $Q_H$ )가 턴 오프 되어 메인 변압기 2차 측 권선( $N_{SS}$ )의 전압 반전에 따른 정류 다이오드( $D_{os1}$ )의 턴 오프에 의해 이루어진다.

벽-초퍼(Buck chopper) 회로를 갖는 멀티 출력 반파 공진형 하프브리지 컨버터 회로의 동작 모드별 시뮬레이션 파형은 그림 6에 도시하였다.

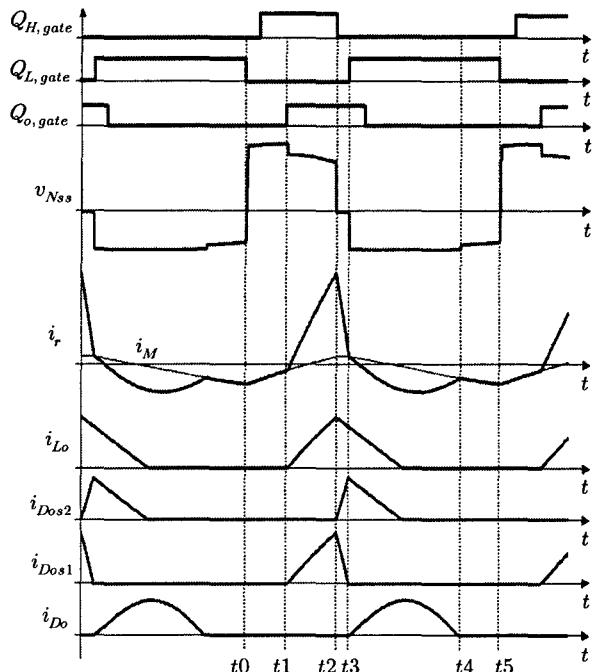


그림 6 벽-초퍼를 갖는 반파 공진형 하프브리지 회로의 이론적 시뮬레이션 동작 파형

Fig. 6 Theoretical simulated waveforms of the Half-wave type with direct buck chopper circuit

제안된 벽-초퍼 회로에서는 정류 다이오드( $D_{os1}$ ) 후단에, 기존에 일반적으로 사용되던 정류 커페시터가 없으며, 이에 따른 벽-초퍼 회로의 장점은 다음으로 요약할 수 있다.

- 1) 부품 수 감소로 인한 원가 절감.
- 2) DCM 설계로 인한 스위칭 소자의 soft-switching 구현
- 3) 트랜스포머 2차 측 누설 인덕턴스를 이용하여, 출력 단 인덕터  $L_o$  삭제 가능.
- 4) 1차 측 스위치에 동기 되어 턴 오프 됨으로, 벽 초퍼 스위치의 부하에 따른 동작주파수, 드티 비 변동이 적으며, 따라서 멀티 출력 컨버터 회로 설계가 용이함.

#### 3.2 모드별 특성 임피던스

각 모드별 동가회로를 통한 1차 측 공진 인덕터( $L_r$ ) 전류( $i_r(t)$ ) 및 공진 커페시터( $C_r$ ) 전압( $v_c(t)$ )을 유도하면 다음과 같다. (단, 기생 커페시턴스( $C_{ds}$ )의 충전, 방전 기간 및 각 스위치( $Q_H$ ,  $Q_L$ ,  $Q_o$ )의 도통 저항 손실분은 무시하였다.)

### 3.2.1 모드 I : $t_0 \leq t \leq t_1$

동작 모드 I은 1차 측 주 스위치( $Q_H$ )의 내부 다이오드( $D_B$ )가 도통되는 순간( $t_0$ )부터 보조출력 부 벽-초퍼 회로의 스위치( $Q_o$ ) 도통 개시( $t_1$ ) 전의 구간을 나타낸다.

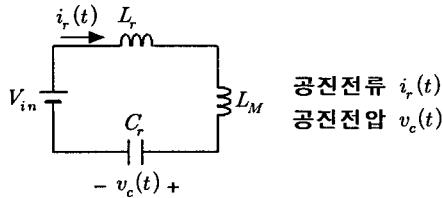


그림 7 모드 I에서의 1차 측 등가회로

Fig. 7 Equivalent circuit in Mode I

그림 7의 등가회로로부터, 상태 미분방정식을 구한다.

$$(L_r + L_M) \frac{di_r(t)}{dt} = V_{in} - v_c(t) \quad (1)$$

$$C_r \frac{dv_c(t)}{dt} = i_r(t) \quad (2)$$

1차 측 공진 인덕터( $L_r$ ) 유입 전류( $i_r(t)$ ) 및 공진 커패시터( $C_r$ ) 전압( $v_c(t)$ )의 초기 조건을 식 (3)과 같이 정의한다.

$$i_r(t_0) = I_{L0}, \quad v_c(t_0) = V_{C0} \quad (3)$$

정의된 초기조건을 이용하여, 수식(1)(2)로부터 다음의 공진 전류( $i_r(t)$ ), 전압 식( $v_c(t)$ )을 유도할 수 있다.

$$i_r(t) = I_{L0} \cos \omega_t t + \frac{(V_{in} - V_{C0})}{Z_t} \sin \omega_t t \quad (4)$$

$$v_c(t) = V_{in} - (V_{in} - V_{C0}) \cos \omega_t t + Z_t I_{L0} \sin \omega_t t \quad (5)$$

$$i_r(t_1) = I_{L1}, \quad v_c(t_1) = V_{C1} \quad (6)$$

$$\text{여기서, } L_t = L_r + L_M, \quad \omega_t = \frac{1}{\sqrt{L_t C_r}}, \quad Z_t = \sqrt{\frac{L_t}{C_r}}$$

### 3.2.2 모드 II : $t_1 \leq t \leq t_2$

동작 모드 II는 1차 측 주 스위치( $Q_H$ )가 도통된 상태에서, 보조출력 부 스위치( $Q_o$ ) 도통 개시( $t_1$ )하여, 권선 비  $n_s$  ( $n_s = N_P/N_{SS}$ )를 갖는 변압기의 에너지가 보조 출력부로 전달되는 구간이며, 1차 측 주 스위치( $Q_H$ )가 턴 오프(turn off) 되어, 메인 변압기의 2차 측 보조 권선( $N_{SS}$ ) 전압이 반전( $t_2$ ) 되기까지 구간 지속된다. 동작 모드 II에서의 등가회로는 그림 8에 도시하였다. 여기서,  $V_{fs}$  및  $V_{os}$ 는 다이오드 순방향 전압강하 및 보조출력 전압 차를 나타낸다.

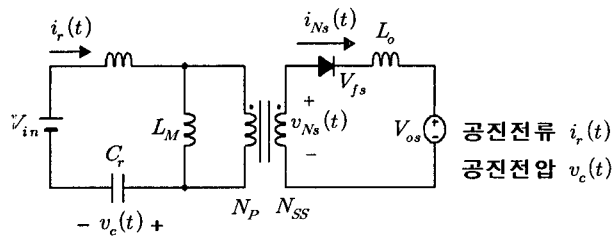


그림 8 모드 II에서의 등가회로

Fig. 8 Equivalent circuit in Mode II

$$C_r \frac{dv_c(t)}{dt} = i_r(t) \quad (7)$$

$$L_r \frac{di_r(t)}{dt} = V_{in} - v_c(t) - n_s v_{Ns}(t) \quad (8)$$

$$n_s v_{Ns}(t) = L_M \frac{di_r(t)}{dt} - \left(\frac{L_M}{n_s}\right) \frac{di_{Ns}(t)}{dt} \quad (9)$$

$$L_o \frac{di_{Ns}(t)}{dt} = v_{Ns}(t) - (V_{os} + V_{fs}) \quad (10)$$

그림 8의 등가회로로부터 상태 방정식을 식(7)~(10)과 같이 구한 후, 식(11)~(14)와 같이 미분방정식의 라플라스 변환(Laplace Transform) 식을 얻는다.

$$I_r(s) - s C_r V_c(s) = -C_r V_{C1} \quad (11)$$

$$s L_r I_r(s) + V_c(s) + n_s V_{Ns}(s) = L_r I_{L1} + \frac{V_{in}}{s} \quad (12)$$

$$s L_M I_r(s) - \frac{s L_M}{n_s} I_{Ns}(s) - n_s V_{Ns}(s) = L_M I_{L1} \quad (13)$$

$$s L_o I_{Ns}(s) - V_{Ns}(s) = -\frac{V_{os} + V_{fs}}{s} \quad (14)$$

라플라스 변환 된 1차 연립 상태 미분방정식에서, 식 (15)와 같이 첨가행렬(augmented matrix) 식을 구성한 후, 가우스-조르당 소거법(Gauss-Jordan elimination)을 이용하여, 식 (16)의 공진 인덕터 전류( $I_r(s)$ ) 및 커패시터 양단 전압( $V_c(s)$ ) 식을 유도한다.

$$\begin{vmatrix} 1 & -s C_r & 0 & 0 & -C_r V_{C1} \\ s L_r & 1 & 0 & n_s & L_r I_{L1} \\ s L_M & 0 & -s L_M/n_s & -n_s & L_M I_{L1} \\ 0 & 0 & s L_o & -1 & -(V_{os} + V_{fs})/s \end{vmatrix} \quad (15)$$

$$I_r(s) = \frac{A_{12}A_{25} - A_{15}A_{22}}{A_{12}A_{21} - A_{11}A_{22}}, \quad V_c(s) = \frac{A_{15}A_{21} - A_{11}A_{25}}{A_{12}A_{21} - A_{11}A_{22}} \quad (16)$$

여기서, 행렬 각 원소(element)는 다음과 같다.

$$A_{21} = 1, \quad A_{22} = -s C_r, \quad A_{25} = -C_r V_{C1}$$

$$A_{11} = s n_s L_r (L_e + n_s L_o), \quad A_{12} = n_s L_e$$

$$A_{15} = \frac{n_s}{s} [V_{in} L_e - L_M (V_{os} + V_{fs})] + n_s I_{L1} (L_r L_e + n_s L_o L_M)$$

$$\text{실효 인덕턴스(effective inductance)} \quad L_e = L_M \frac{N_{ss}}{N_p} + \frac{N_p}{N_{ss}} L_o$$

식 (16)을 라플라스 역변환(Reverse Laplace Transform)하면, 공진 전류( $i_r(t)$ ), 전압 식( $v_c(t)$ )을 유도할 수 있다.

$$i_r(t) = I_{L1} \cos \omega_e t + \frac{V_e}{Z_e} \sin \omega_e t \quad (17)$$

$$v_c(t) = (V_e + V_{C1}) - V_e \cos \omega_e t + I_{L1} Z_e \sin \omega_e t \quad (18)$$

$$i_r(t_2) = I_{L2}, \quad v_c(t_2) = V_{C2} \quad (19)$$

$$\text{여기서, } V_e = V_{in} - V_{C0} - (V_{os} + V_{fs}) \frac{L_M}{L_e}$$

$$k_e = \sqrt{1 + n_s \frac{L_M L_o}{L_e L_r}}, \quad \omega_e = \frac{1}{k_e \sqrt{L_r C_r}}, \quad Z_e = k_e \sqrt{\frac{L_r}{C_r}}$$

### 3.2.3 모드 III : $t_2 \leq t \leq t_3$

동작 모드 III는 1차 측 주 스위치( $Q_H$ )가 턴 오프(turn

off) 된 후, 메인 변압기의 2차 측 보조 권선( $N_{SS}$ ) 전압이 반전( $t_2$ ) 되어 2차 측 전류( $i_{Ns}$ )가 영 지점으로 감소( $t_3$ )되는 구간을 나타낸다. 벽-초퍼 출력 단 인덕터( $L_o$ )에 유기된 역기전력에 의해 환류(free-wheeling) 다이오드( $D_{os2}$ )가 동시에 도통 됨으로, 보조 권선( $N_{SS}$ ) 전압은 영이 된다. 또한, 1차 측 기생 커패시턴스( $C_{ds}$ )가 모두 방전한 후, 트랜스포머 내 자화 인덕턴스( $L_M$ )의 역기전력에 의해 주 스위치 병렬 다이오드( $D_L$ )가 터온 되며, 이후 주 스위치  $Q_L$ 이 도통된다.

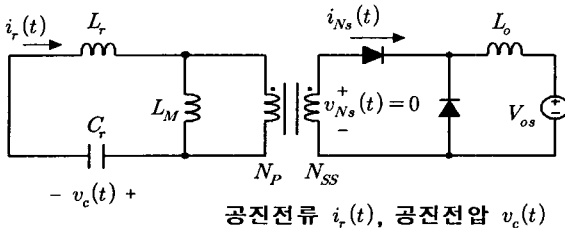


그림 9 모드 III에서의 등가회로

Fig. 9 Equivalent circuit in Mode III

그림 9의 동작 모드 III 등가회로로부터 상태 미분방정식을 구한다.

$$L_r \frac{di_r(t)}{dt} = -v_c(t) \quad (20)$$

$$C_r \frac{dv_c(t)}{dt} = i_r(t) \quad (21)$$

수식(20),(21)으로부터 다음의 공진 전류( $i_r(t)$ ), 전압 식( $v_c(t)$ )을 유도할 수 있다.

$$i_r(t) = I_{L2} \cos \omega_r t - \frac{V_{C2}}{Z_r} \sin \omega_r t \quad (22)$$

$$v_c(t) = V_{C2} \cos \omega_r t + Z_r I_{L2} \sin \omega_r t \quad (23)$$

$$i_r(t_3) = I_{L3}, \quad v_c(t_3) = V_{C3} \quad (24)$$

$$\text{여기서, } \omega_r = \frac{1}{\sqrt{L_r C_r}}, \quad Z_r = \sqrt{\frac{L_r}{C_r}}$$

#### 3.2.4 모드 IV : $t_3 \leq t \leq t_4$

동작 모드III 구간에서 벽-초퍼 입력 전류( $i_{Ns}$ )가 영 지점으로 감소( $t_3$ ) 된 후, 메인 출력 다이오드( $D_{om}$ )가 도통되면, 권선 비  $n_m$  ( $n_m = N_P/N_{SM}$ )을 갖는 변압기의 에너지가 메인 출력부( $V_{om}$ )로 전달되며, 동작 모드 IV는 메인 출력 다이오드( $D_{om}$ )의 터 오프 시까지 구간 지속된다. 그림 10에 도시된 등가회로에서  $V_{fm}$  및  $V_{om}$ 은 다이오드 순방향 전압강하 및 메인 출력 전압 차를 나타낸다.

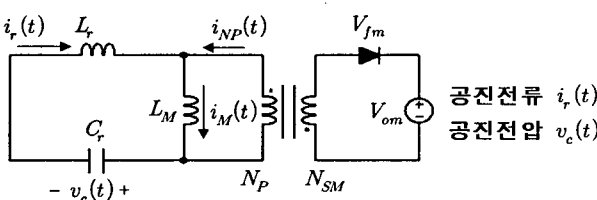


그림 10 모드 IV에서의 등가회로

Fig. 10 Equivalent circuit in Mode IV

동작 모드 IV 등가회로로부터 상태 미분방정식을 구한다.

$$i_M(t) = -\frac{n_m(V_{om} + V_{fm})}{L_M} t + I_{L3} \quad (25)$$

$$L_r \frac{di_r(t)}{dt} = -v_c(t) + n_m(V_{om} + V_{fm}) \quad (26)$$

$$i_r(t) = i_M(t) - i_{NP}(t) = C_r \frac{dv_{C_r}(t)}{dt} \quad (27)$$

수식 (25),(26),(27)의 1차 연립 상태 미분방정식으로부터 다음의 공진 전류( $i_r(t)$ ), 전압 식( $v_c(t)$ )을 유도할 수 있다.

$$i_r(t) = I_{L3} \cos \omega_r t + \left[ \frac{n_m(V_{om} + V_{fm}) - V_{C3}}{Z_r} \right] \sin \omega_r t \quad (28)$$

$$v_c(t) = n_m(V_{om} + V_{fm}) \quad (29)$$

$$- [n_m(V_{om} + V_{fm}) - V_{C3}] \cos \omega_r t + Z_r I_{L3} \sin \omega_r t$$

$$i_r(t_4) = I_{L4}, \quad v_c(t_4) = V_{C4} \quad (30)$$

$$\text{여기서, } \omega_r = \frac{1}{\sqrt{L_r C_r}}, \quad Z_r = \sqrt{\frac{L_r}{C_r}}$$

#### 3.2.5 모드 V : $t_4 \leq t \leq t_5$

메인 출력 다이오드( $D_{om}$ )의 도통구간이 완료( $t_4$ )된 후, 1차 측 주 스위치( $Q_L$ )를 통해 내부 순환 공진되는 구간이다. 주 스위치( $Q_L$ ) 터 오프 시, 기생 커패시턴스( $C_{ds}$ )가 입력전압( $V_{in}$ )으로 충전( $t_0$ ) 되면, 이후 [모드 I] 구간에서 주기 반복된다.

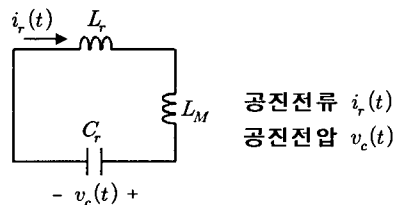


그림 11 모드 V에서의 1차 측 등가회로

Fig. 11 Equivalent circuit in Mode V

그림 11의 동작 모드 V 등가회로로부터 상태 미분방정식을 구한다.

$$(L_r + L_M) \frac{di_r(t)}{dt} = -v_c(t) \quad (31)$$

$$C_r \frac{dv_c(t)}{dt} = i_r(t) \quad (32)$$

수식(31),(32)로부터 다음의 공진 전류( $i_r(t)$ ), 전압 식( $v_c(t)$ )을 유도할 수 있다.

$$i_r(t) = I_{L4} \cos \omega_t t - \frac{V_{C4}}{Z_t} \sin \omega_t t \quad (33)$$

$$v_c(t) = V_{C4} \cos \omega_t t + Z_t I_{L4} \sin \omega_t t \quad (34)$$

$$i_r(t_5) = I_{L5}, \quad v_c(t_5) = V_{C5} \quad (35)$$

$$\text{여기서, } L_t = L_r + L_M, \quad \omega_t = \frac{1}{\sqrt{L_t C_r}}, \quad Z_t = \sqrt{\frac{L_t}{C_r}}$$

상기에서 유도된, 각 모드별 특성 임피던스를 표2에 정리하였다.

표 2 벽-초퍼를 갖는 반파 공진형 컨버터의 모드별 특성 임피던스

Table 2 characteristic impedances in the operation mode of Half-wave type ZVS converter with Buck chopper circuit

모드	특성 임피던스
모드 I	$Z_t = \sqrt{\frac{L_t}{C_r}}$
모드 II	$Z_e = k_e \sqrt{\frac{L_r}{C_r}}$
모드 III	$Z_r = \sqrt{\frac{L_r}{C_r}}$
모드 IV	$Z_r = \sqrt{\frac{L_r}{C_r}}$
모드 V	$Z_t = \sqrt{\frac{L_t}{C_r}}$

### 3.3 트랜스포머 메인 출력 전류 특성

동작 모드 IV 구간에서 트랜스포머 1차 측 전류의 이상적 파형을 그림 12에 도시하였다. 여기서 전류  $i_{NP}(t)$ 는 메인 출력 부 ( $V_{om}$ )로 전달되는 이상적인 트랜스포머의 1차 측 유입전류를 의미한다.

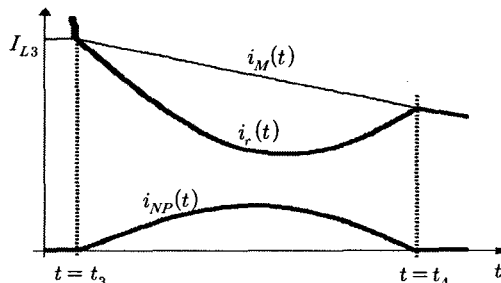


그림 12 모드 IV에서의 1차 측 트랜스포머 내부 이상적 시뮬레이션 전류 파형

Fig. 12 ideal transformer current waveforms in Mode IV

수식 (25),(26),(27)의 1차 연립 상태 미분방정식을 라플라스 변환(Laplace Transform)한 후 정리하면, 전류  $i_{NP}(t)$ 에 대한 라플라스 변환 식은 다음과 같다.

$$I_{NP}(s) = \frac{\beta_1}{s^2 + \omega_r^2} + \frac{\gamma_1 + \delta_1}{s^2[s^2 + \omega_r^2]} \quad (36)$$

$$\text{여기서, } \gamma_1 = \frac{I_{L3}}{L_r C_r}, \delta_1 = \frac{m_1}{L_r C_r}, m_1 = -\frac{n_m(V_{om} + V_{fm})}{L_M}$$

$$\beta_1 = \frac{V_{C3} - n_m(V_{om} + V_{fm})}{L_r} - \frac{n_m(V_{om} + V_{fm})}{L_M}$$

식(36)을 라플라스 역변환(Reverse Laplace Transform)하여 이상적인 트랜스포머의 1차 측 유입전류( $i_{NP}(t)$ )를 식(37)과 같이 얻을 수 있다.

$$i_{NP}(t) = I_{L3} + m_1 t + \left[ \frac{\beta_1 - m_1}{\omega_r} \sin \omega_r t - I_{L3} \cos \omega_r t \right] \quad (37)$$

식 (37)은, 특정 기울기의 자화전류(magnetizing current)가 존재하는 동작모드 구간에서는 이상적인 트랜스포머의 1

차 측 유입전류( $i_{NP}(t)$ ) 내에, 공진 과정과는 상이한 일차 함수( $m_1 t$ ) 성분이 존재함을 보여준다. 또한 동일 구간, 2차 측 전류의 공진 과정 또한 변압기 퀀선 비에 비례하여 트랜스포머의 1차 측 유입전류( $i_{NP}(t)$ )와 동일한 전류 특성을 갖는 것을 알 수 있다.

동작 모드 IV 구간에서 이상적인 트랜스포머 1차 측 유입전류  $i_{NP}(t)$ 가 존재하기 위한 메인 출력 다이오드( $D_{om}$ ) 턴온 초기 경계조건은 식 (38)과 같다.

$$\frac{di_{NP}(0)}{dt} = \beta_1 > 0 \quad (38)$$

### 3.4 벽-초퍼 회로의 입출력 전압비

동작모드 II 구간에서 구해진 라플라스 변환 식 (11),(12), (13),(14)으로부터 벽-초퍼 회로 입력전류 식  $I_{Ns}(s)$ 를 구한 후, 라플라스 역 변환하여  $i_{Ns}(t)$ 를 구하면 다음과 같다

$$i_{Ns}(t) = k_0 + k_1 t + (I_{cn} \cos \omega_e t + I_{sn} \sin \omega_e t) \quad (39)$$

$$\text{여기서, } k_0 = -\frac{L_M}{L_e} I_{L1}, k_1 = -\frac{n_s(V_{os} + V_{fs})}{L_e}, I_{cn} = \frac{L_M}{L_e} I_{L1}$$

$$I_{sn} = \frac{L_M}{R_e L_e} [V_{in} - V_{cl} - n_s(V_{os} + V_{fs}) + n_s^2(V_{os} + V_{fs}) \frac{L_o}{L_e}]$$

또한, 입력전류 식(39) 및 상태방정식 수식 (10)으로부터, 입력 전압 식  $v_{Ns}(t)$ 를 얻을 수 있다.

$$v_{Ns}(t) = (L_o k_1 + V_{fs} + V_{os}) + \omega_e L_o (I_{sn} \cos \omega_e t - I_{cn} \sin \omega_e t) \quad (40)$$

불연속 전류모드(DCM : discontinuous current mode)로 동작하는 벽-초퍼 회로의 인덕터( $L_o$ ) 전류-전압 파형을 그림 13에 도시하였다.  $V_{fs}$ ,  $V_d$ 는 입력 다이오드 및 환류 다이오드(Free-wheeling diode)의 순방향 전압 차이며,  $D_1$ ,  $D_2$ 는 한주기( $T_s$ )의 인덕터 전류 상승, 하강기간 비율을 나타낸다.

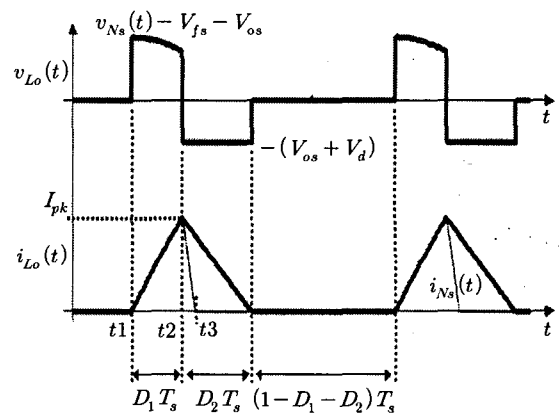


그림 13 벽-초퍼 인덕터의 전류-전압 시뮬레이션 파형

Fig. 13 ideal voltage-current waveforms in buck-chopper inductor

벽-초퍼 회로 입력전류 수식 (39) 및 보조 출력전류( $I_{os}$ ) 근사식으로부터, 인덕터 최대 전류치( $I_{pk}$ )는 다음과 같다.

$$I_{pk} = k_0 + k_1 D_1 T_s + I_{cn} \cos(\omega_e D_1 T_s) + I_{sn} \sin(\omega_e D_1 T_s) \quad (41)$$

$$\approx \frac{2I_{os}}{D_1 + D_2}$$

동작모드 II 구간에서, 입력  $v_{Ns}(t)$ 의 평균 전압 차를  $V_a$ 라 하면, 수식 (41) 및 인덕터 전압-평형조건(volt-second balance) 으로부터, 인덕터 전류 상승, 하강기간 비율( $D_1, D_2$ )을 수식 (42)과 같이 유도할 수 있다

$$D_1 = \frac{L_o}{(V_a - V_{fs} - V_{os})T_s} I_{pk}, \quad D_2 = \frac{L_o}{(V_{os} + V_d)T_s} I_{pk} \quad (42)$$

수식 (41),(42)로부터 벽-초퍼 회로의 입출력 전압 비( $M = \frac{V_{os}}{V_a}$ )를 구하면 다음과 같다.

$$M \cong \frac{D_1}{D_1 + D_2} \cdot \frac{2L_o I_{os} - T_s V_d (D_1 + D_2) D_2}{2L_o I_{os} + T_s (V_{fs} - V_d) D_1 D_2} \quad (43)$$

수식 (42)의 인덕터 전류 상승, 하강기간 비율( $D_1, D_2$ )은 보조 출력 전류( $I_{os}$ )의 증감에 의해 미소 변화 됨을 보여준다. 따라서, 입출력 전압 식 (43)으로부터, 보조 출력 부 벽-초퍼 회로는 주 출력부( $V_{om}$ )의 부하전류 증감에 관계없이, 보조 출력 전류( $I_o$ )의 증감 시, 도통 기간( $D_1, D_2$ )의 변화에 의해 출력전압( $V_{os}$ ) 제어됨을 알 수 있다.

다이오드의 순방향 전압 치( $V_{fs}, V_d$ )를 무시하면, 벽-초퍼 회로의 입출력 전압 비는 다음과 같다.

$$M \cong \frac{D_1}{D_1 + D_2} \quad (44)$$

### 3.5 공진 동작 영역

제안된 컨버터는 유도된 각 동작모드 별 1차 측 공진 전류  $i_r(t)$ 의 수식과 같이, 공진 커패시터의( $C_r$ )의 총, 방전 전류 파형이 상이하여, 각 출력부 전류 증감에 따른 공진 자화전류의 존재 영역이 제한됨을 알 수 있다. 이에, 공진 자화전류의 존재 영역을 살펴보자 한다.

스위칭 한주기 동안의 1차 측 공진 인덕터( $L_r$ ) 전류파형을 그림 14에 도시하였다. 정상상태 공진 커패시터( $C_r$ ) 전류-평형(charge balance) 조건으로부터, 인덕터 전류( $i_r(t)$ )의 양(+/-)의 값을 갖는 구간의 면적(S1)은 음(-)의 값을 갖는 구간의 면적(S2)과 같도록 제어됨으로, 메인 출력전류( $I_{om}$ ) 및 보조 출력전류( $I_{os}$ )의 증감에 관계없이, 자화전류( $i_M(t)$ )가 존재하기 위한 다음의 조건을 만족해야 한다.

$$I_{L0} = I_{L5} < 0 < I_{L3} \quad (45)$$

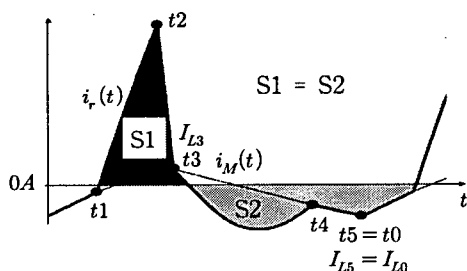


그림 14 공진 인덕터 전류 시뮬레이션 파형

Fig. 14 current waveforms in the resonant inductor

#### 3.5.1 전 출력 무부하 특성

전 출력 무 부하( $I_{om} = I_{os} = 0$ ) 상태에서는 1차 측 회로에

자화전류( $i_m(t)$ ) 성분만 인가됨으로 동작모드 I,V 구간에서 유도된 공진 전류-전압 식을 식 (46)~(48)으로 상태 변환한 후, 정규화 된 상태-공간(normalized state plane)에 도시하면 그림 15와 같다.

$$j_t(\theta) = \frac{Z_t}{V_{in}} i_r(t), \quad m_t(\theta) = \frac{v_c(t)}{V_{in}}, \quad \theta = w_t t \quad (46)$$

$$J_0 = -\frac{Z_t}{V_{in}} I_{L0}, \quad M_0 = \frac{V_{C0}}{V_{in}}, \quad (47)$$

$$\theta_H = (w_t T_s) D_H, \quad \theta_L = (w_t T_s) D_L, \quad \theta_H + \theta_L = w_t T_s \quad (48)$$

여기서,  $D_H, D_L$ 은 스위칭 한주기 동안의 공진 전류 상승( $D_H$ ), 하강기간( $D_L$ ) 비율을 나타낸다.

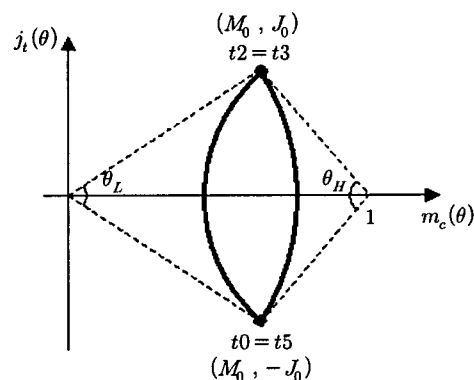


그림 15 무부하 조건에서의 상태-공간 도면

Fig. 15 Normalized State-plane diagram at zero load

그림 15로부터 초기치 ( $M_0, J_0$ )를 유도할 수 있다.

$$M_0 = \frac{\tan(\theta_H/2)}{\tan(\theta_L/2) + \tan(\theta_H/2)}, \quad J_0 = M_0 \tan(\theta_L/2) \quad (49)$$

수식 (47),(49)로부터, 전 출력 무 부하( $I_{om} = I_{os} = 0$ ) 상태에서 공진 자화전류의 최대치( $I_{L0}$ )를 구하면 다음과 같다.

$$-I_{L0} = \frac{V_{in}}{Z_t} \frac{\tan(\theta_L/2) \tan(\theta_H/2)}{\tan(\theta_L/2) + \tan(\theta_H/2)} \quad (50)$$

#### 3.5.2 메인 출력부 전류 최대, 보조 출력부 무부하인 경우

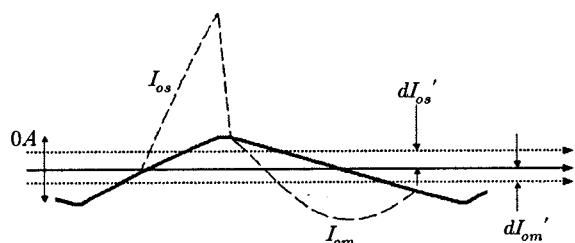


그림 16 출력전류 변화에 따른 공진 전류 비교

Fig. 16 Compared current waveform with variable load

그림 16은 출력전류 변화에 따른 1차 측 공진전류의 파형을 나타낸다. 보조 출력부 무 부하 조건에서 메인 출력부 부하( $I_{om}$ )가 증가할수록, 전류 기준 레벨(0A)이 하향 변동( $dI_{om}'$ )됨을 알 수 있으며 이에 따른 한주기 동안의 전류 면적의 변동치( $dS_{om}'$ ) 및 정상상태 공진 커패시터( $C_r$ ) 전류-평형(charge balance) 조건을 만족하기위한 전류 기준 레벨(0A) 변동치( $dI_{om}'$ )는 다음과 같다.

$$dS_{om}' = dI_{om}' D_H T_s + dI_{om}' D_L T_s - \frac{I_{om}}{n_m} T_s \quad (51)$$

$$dI_{om}' = \frac{I_{om}}{n_m} \quad (52)$$

### 3.5.3 메인출력부 무부하, 보조출력부 전류 최대인 경우

메인출력부 무부하 조건에서 보조출력부 부하( $I_{os}$ )가 증가하면, 전류 기준 레벨(0A)이 상향 변동( $dI_{os}'$ ) 되며, 이에 따른 한주기 동안의 전류 면적의 변동치( $dS_{os}'$ ) 및 정상상태 공진 커패시터( $C_r$ ) 전류-평형(charge balance) 조건을 만족하기위한 전류 기준 레벨(0A) 변동치( $dI_{os}'$ )는 다음과 같다.

$$dS_{os}' \cong -dI_{os}' D_H T_s - dI_{os}' D_L T_s + \frac{I_{os} T_s}{n_s} \frac{D_1}{D_1 + D_2} \quad (53)$$

$$dI_{os}' \cong \frac{I_{os}}{n_s} \frac{D_1}{D_1 + D_2} \quad (54)$$

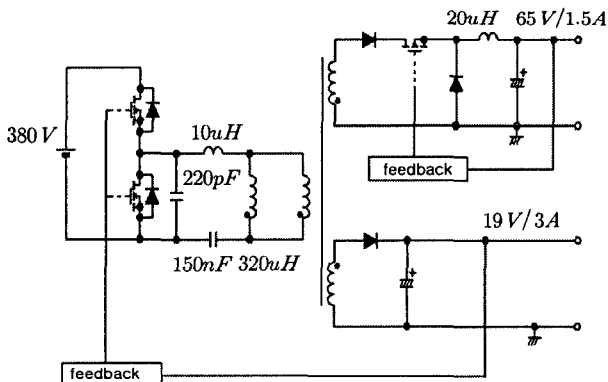
따라서, 유도된 위 수식 (45),(50),(52),(54)으로부터, 메인 출력전류( $I_{om}$ ) 및 보조 출력전류( $I_{os}$ )의 증감에 관계없이, 안정된 공진 영역에서 자화전류( $i_m(t)$ )가 존재하기 위한 최종적인 공진 동작영역을 다음과 같이 정리할 수 있다.

$$\left[ \frac{I_{om}}{n_m} \text{ and } \frac{I_{os}}{n_s} \frac{D_1}{D_1 + D_2} \right] < \frac{V_{in}}{Z_t} \frac{\tan(\theta_L/2)\tan(\theta_H/2)}{\tan(\theta_L/2) + \tan(\theta_H/2)} \quad (55)$$

## 4. 실험 결과

제안된 방법의 타당성 검증을 위해 시작품(prototype)을 제작하였다. 입력전압은 PFC 출력 전압 380V로 설정하였고, 42인치 PDP 부하조건으로 실험을 진행하였다. 실험 회로는 그림 17에 도시하였으며, 설계 상 주요 고려사항은 다음과 같다.

- 1) 벽-초퍼 회로는 전류 불연속 모드(DCM)로 동작 시킬 것.[관련 식 (42)~(44)]
- 2) 벽-초퍼 회로의 뉴티비( $D_1$ )가 1차 측 주 스위치 도통 시간 비율( $D_H$ )보다 작을 것.[관련 식 (42)]
- 3) 각 출력부 전류의 증감에 관계없이, 공진 자화전류가 존재 할 것.[관련 식 (55)]



변압기 권선 수  $N_P = 22T$ ,  $N_{SS} = 18T$ ,  $N_{SM} = 3T$

그림 17 실험 회로

Fig. 17 Experiment circuit

### 4.1 정상상태 다중 공진 특성 고찰

상기에서 유도된 각 동작 모드별 1차 측 공진 인덕터( $L_r$ ) 전류 식 및 공진 커패시터( $C_r$ ) 전압 식으로부터, 실험 회로의 한주기 전류-전압 계산치를 그림 18(a)와 같이 상태 공간(state plane)에 도시하였다.

동작 모드 II 및 IV 구간에서 유도된 전류-전압 식으로부터,  $t = t_2$ 에서의 공진 전류 최대치 및 모드 IV 구간에서의 공진전압 최대치를 구하면 다음과 같다.

$$I_{L,\max} = I_{L3} + \frac{I_{pk}}{n_s} \quad (56)$$

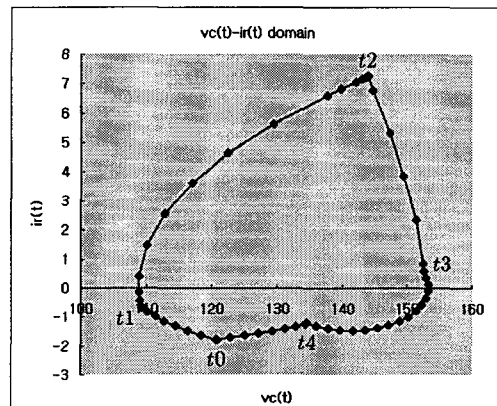
$$V_{C,\max} = n_m (V_{om} + V_{fm}) \quad (57)$$

$$+ \sqrt{[n_m (V_{os} + V_{fm}) - V_{C3}]^2 + (Z_r I_{L3})^2}$$

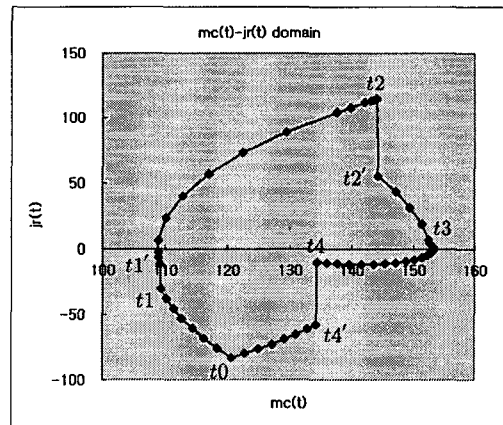
표 2의 각 동작 모드별 특성임피던스를 이용하여 수식 (58)과 같이 상태 변환 한 후의 상태 공간 도면은 그림 18(b)에 도시하였다. 변압기 1차 측 권선 전압이 반전되어 모드 II에서 모드 III으로 변동되는 동작구간( $t_2 \sim t_2'$ ) 및 변압기로부터 메인 출력부로 에너지 전달이 완료되어 모드 IV에서 모드 V로 변동되는 구간( $t_4 \sim t_4'$ )에서는 특성임피던스가 급격히 변화됨을 알 수 있다.

$$j_r(t) = Z_n i_r(t), m_c(t) = v_c(t) \quad (58)$$

여기서  $Z_n$ 은 각 모드 별 특성 임피던스를 나타낸다.



(a) 공진 전류-전압 도면 [ $i_r(t) - v_c(t)$ ]



(b) 공진 전류-전압 도면 [ $j_r(t) - m_c(t)$ ]

그림 18 반파 공진형의 상태-공간 도면

Fig. 18 State-plane diagram of Half-wave type

#### 4.2 메인 출력부 전류 특성 고찰

동작 모드 IV 구간에서 메인 출력부 다이오드 전류의 시뮬레이션 및 계산치 파형을 그림 19에 도시하였다.

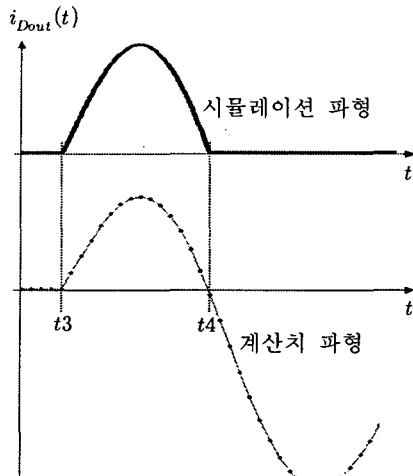


그림 19 모드 IV에서의 메인 출력부 전류 파형 비교

Fig. 19 Compared current waveform in Mode IV

그림 19에 도시된 계산치 파형 중 전류가 음의 값을 갖는 구간( $i_{out}(t) \leq 0, t \geq t_4$ )에서는 출력 다이오드( $D_{om}$ )가 턴 오프 되어 실제적으로 흐르지 않는 가상전류를 나타낸다. 출력 다이오드( $D_{om}$ ) 턴 온 구간에서, 시뮬레이션 파형이 이론 파형으로 추적됨을 알 수 있으며, 스위칭 한주기 동안의 출력 다이오드( $D_{om}$ )의 유입 전류 실험 파형 또한 동일한 특성을 보인다.

#### 4.3 공진 동작 영역 고찰

상기에서 유도된 공진 동작 영역 수식 (55)으로부터, 안정된 공진 영역에서, 자화전류( $i_M(t)$ )가 존재하기 위한 1차 측 공진 인덕터 값의 경계치( $L_{i_m i_m}$ )가 존재함을 알 수 있다.

$$L_t = L_r + L_M \leq L_{i_m i_m} \quad (57)$$

실험 회로에서 1차 측 주 스위치 도통시간 비율( $D_H$ ) 0.4 및 경계치에서 자화 전류 마진(current margin)을 0.5A로 했을 경우, 각 출력 전류 변화에 따른 공진 인덕터 값의 경계치 변화를 그림 20에 도시하였다.

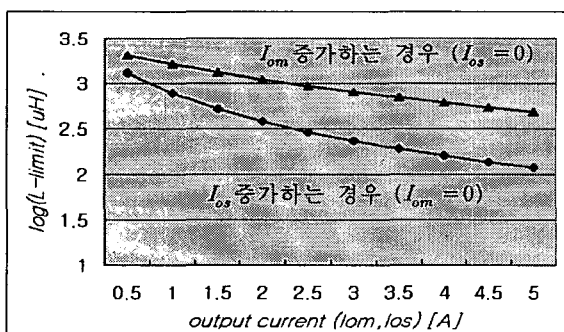


그림 20 출력전류 변화에 따른 공진 인덕터 경계 값

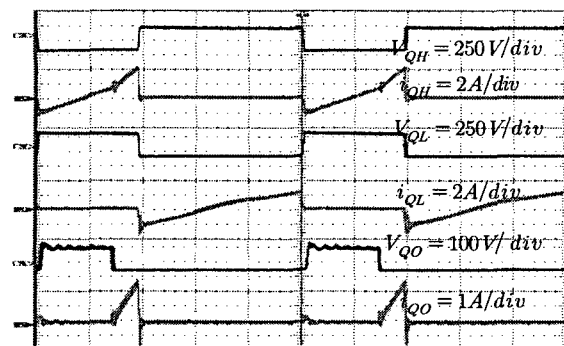
Fig. 20 Limited values of resonant inductor in each load.

메인 출력부 전류( $I_{om}$ )가 증가되는 경우보다는 보조 출력부 전류( $I_{os}$ ) 증가 되는 경우에서 공진 인덕터 값의 경계치( $L_{i_m i_m}$ )에 설계 제한됨을 보여주며, 이는 각 출력 전류 및 권선 비율에 따른 1차 측 공진 전류의 변화에 기인함을 알 수 있다. 따라서, 다음의 식 (59) 조건에서 인덕터 최대 경계치( $L_{i_m i_m}$ ) 및 최대 자화 전류 마진(current margin)을 확보할 수 있다.

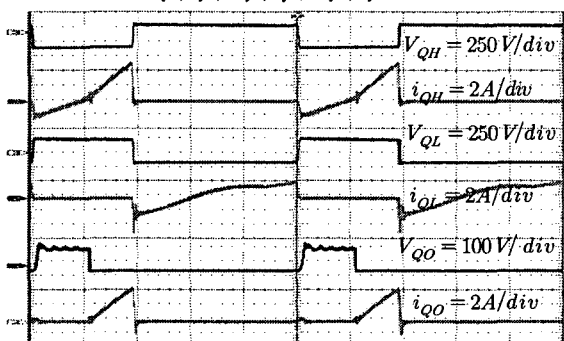
$$\frac{I_{om}}{n_m} = \frac{I_{os}}{n_s} \frac{D_1}{D_1 + D_2} \quad (59)$$

#### 4.4 부하에 따른 주요 스위칭 소자의 전압/전류 파형

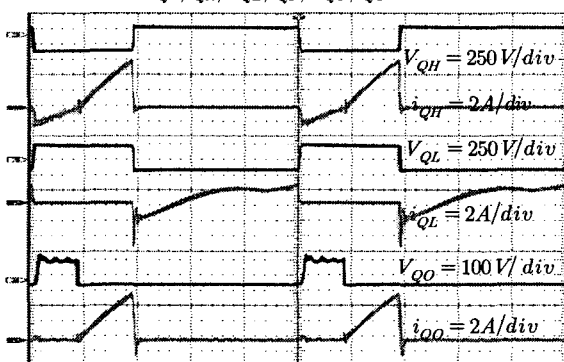
그림 21, 22의 (a),(b),(c)는 각각 20%, 60% 및 전 부하에서, 주요 스위칭 소자의 전압/전류 파형을 나타낸다.



a) 20% 부하시  $V_{QH}, i_{QH}, V_{QL}, i_{QL}, V_{QO}, i_{QO}$  실험파형(2us/div)



b) 60% 부하시  $V_{QH}, i_{QH}, V_{QL}, i_{QL}, V_{QO}, i_{QO}$  실험파형(2us/div)



c) 전 부하시  $V_{QH}, i_{QH}, V_{QL}, i_{QL}, V_{QO}, i_{QO}$  실험파형(2us/div)

그림 21 부하에 따른 주요 스위칭 FET 실험 파형

Fig. 21 Experimental waveforms of the main switching FETs in each load

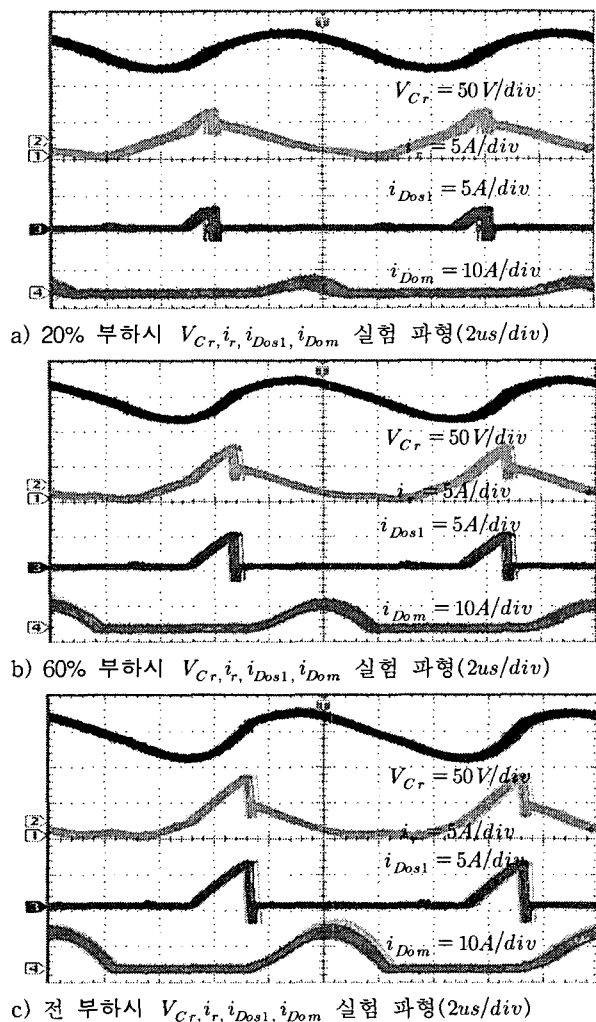


그림 22 부하에 따른 트랜스포머 전류 실험 파형  
Fig. 22 Experimental waveforms of the main transformer's current in each load

#### 4.5 입출력 효율

제안된 다중공진 멀티출력 컨버터에서의 보조출력 전류( $I_{os}$ ) 변화에 따른 입출력 효율을 그림 23에 도시하였다.

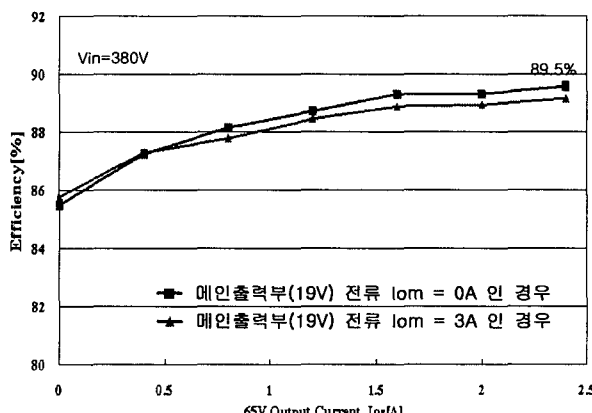


그림 23 부하에 따른 컨버터 입출력 효율  
Fig. 23 Efficiency in each load

#### 5. 결 론

본 논문에서는 벡(Buck) 방식의 초퍼(Chopper)회로를 보조 출력으로 하여, 크로스 레귤레이션(Cross Regulation) 문제가 해결 가능한 새로운 반파 공진 형 멀티 출력 HB 컨버터를 제안하였다. 제작된 컨버터는 PDP 실제 부하조건으로 실험 진행하였으며, 시뮬레이션 및 각 모드별 수식으로 예측된 다중공진 특성과 동일한 실험 결과를 얻음으로서, PDP 전력모듈 등 고용량 전원장치에 적합함을 확인하였다. 또한, 유도된 메인 출력부 다이오드 전류 식으로부터, 정형파형을 보이는 전류의 공진기간은 일반적으로 알려진 공진 반주기( $\pi\sqrt{L_r C_r}$ )와 상이한 특성을 보이며, 이는 동일 기간 트랜스포머 내 음의 기울기를 갖는 자화 전류(magnetizing current)의 존재에 기인한 것임을 수식으로 확인하였다.

그러나 제안된 컨버터는 유도된 각 동작모드 별 1차 측 공진 전류  $i_p(t)$ 의 수식에서도 알 수 있듯이, 기존 ZVS HB 컨버터와는 다르게 공진 커패시터( $C_r$ )의 충, 방전 전류 파형이 상이하여, 각 출력부 전류 증감에 따른 공진 자화전류의 존재영역이 제한됨으로 설계 시 주의가 요구된다.

#### 감사의 글

본 연구는 2005년도 LG이노텍(주) 파워연구실 지원부의 지원에 의하여 이루어진 연구로서, 관계부처에 감사드립니다.

#### 참 고 문 헌

- [1] S. K. Han, J. Y. Lee, G. W. Moon, M. J. Youn, C. B. Park, N. S. Jung, and J. P. Park, "A New Energy-Recovery Circuit for Plasma Display Panel", *Electronics Letters*, 18t July 2002, Vol. 38, pp. 790-792.
- [2] C. W. Roh, H. J. Kim, S. H. Lee, and M. J. Youn, "Multi level Voltage Wave-Shaping Display Driver for AC Plasma Display Panel Application", *IEEE Journal of Solid-State Circuits*, Vol. 38, No. 6, pp. 935-947.
- [3] M. L. Heldwein, A. Ferrari de Souza, and I. Barbi, "A Primary Side Clamping Circuit Applied to the ZVS-PWM Asymmetrical Half-Bridge Converter", *PESC 2000*, Vol. 1, pp. 199-204.
- [4] J. H. Liang, P. C. Wang, K. C. Huang, C. L. Chen, Y. H. Leu, and T. M. Chen, "Design Optimization for Asymmetrical Half-Bridge Converters", *APEC 2001*, Vo2. 1, pp. 697-702.
- [5] O. Garcia, J. A. Cobos, J. Uceda, and J. Sebastian, "Zero voltage switching in the PWM half bridge topology with complementary control and synchronous rectification", in *Proc. Power Electronics Specialists Conf. (PESC'95)*, 1995, pp. 286-291.

## 저 자 소 개



이 재 삼(李 在 三)

1974년 1월 26일생. 2000년 국민대 전자 공학과 졸업. 2004년~현재 LG이노텍(주) 파워연구실 선임연구원  
Tel : 062-950-0489  
E-mail : jsleer@lginnoteck.com



손 호 인(孫虎仁)

1975년 4월 19일생. 2001년 울산대 제어계 측공학과 졸업(공학사). 2005년 한양대 전기 공학과 졸업(공학석사). 2005년~현재 LG이노텍(주) 파워연구실 주임연구원.